

Prepoznavanje lica koristeći tenzor-tenzor dekompoziciju

Tin Kranželić, Dora Parmać

13. svibnja 2021.

Sadržaj

- ① Uvod
- ② Tradicionalne dekompozicije
 - CP dekompozicija
 - Tuckerova dekompozicija
- ③ Tradicionalni algoritmi
 - PCA algoritam
 - TensorFaces
- ④ Novi pristup - Tensor Framework
- ⑤ T-SVD dekompozicija
- ⑥ Novi pristup baziran na TSVD
- ⑦ Alternativa - tenzor OR pivotiranje

Uvod

- Želimo spremiti podatke poput slika različitih osoba, pod različitim osvjetljenjima, različitih ekspresija i sl u tenzore.
- Nakon što iskoristimo tenzore višeg reda za pohranu multidimenzionalnih podataka, važan korak je kompresija podataka.
- Najčešće korištene tenzor dekompozicije su CANDECOMP/PARAFAC (CP) dekompozicija i Tucker dekompozicija.

Tradicionalne dekompozicije

Neka je \mathcal{A} tenzor reda $I \times J \times K$. Tada se njegova CP dekompozicija može zapisati kao suma vanjskog produkta vektora:

$$\mathcal{A} = \sum_{l=1}^R u^{(l)} \circ v^{(l)} \circ w^{(l)} \quad \implies \quad (\mathcal{A})_{i,j,k} = \sum_{l=1}^R u_i^{(l)} v_j^{(l)} w_k^{(l)} \quad (1)$$

gdje su

$$u^{(l)} \in \mathbb{R}^I, v^{(l)} \in \mathbb{R}^J, w^{(l)} \in \mathbb{R}^K, \text{ za } l = 1, 2, \dots, R.$$

Tuckerova dekompozicija

$$\mathcal{A} = \mathcal{G} \times_1 \mathbf{U} \times_2 \mathbf{V} \times_3 \mathbf{W} = \sum_{i=1}^{R_1} \sum_{j=1}^{R_2} \sum_{k=1}^{R_3} \sigma_{ijk} (u^{(i)} \circ v^{(j)} \circ w^{(k)}) \quad (2)$$

gdje je: $R_1 \leq I, R_2 \leq J, R_3 \leq K$ i za $i, j, k, u^{(i)} \in \mathbb{R}^I, v^{(j)} \in \mathbb{R}^J, w^{(k)} \in \mathbb{R}^K, \mathcal{G} = \sigma_{ijk} \in \mathbb{R}^{R_1 \times R_2 \times R_3}, \mathbf{U} = [u^{(1)}, u^{(2)} \dots u^{(R_1)}], \mathbf{V} = [v^{(1)}, v^{(2)} \dots v^{(R_2)}], \mathbf{W} = [w^{(1)}, w^{(2)} \dots w^{(R_3)}]$.

Tradicionalni algoritmi - PCA algoritam

- Klasična tehnika koja se koristi u prepoznavanju slika i kompresiji
- Koristi kako bi se transformirao veliki broj moguće koreliranih varijabli u manji broj nekoreliranih varijabli poznatije kao glavne komponente
- Prvih nekoliko glavnih komponenata objašnjava većinu varijacija originalnih podataka, dok preostali predstavljaju zanemariv doprinos. Stoga podatka možemo ekonomičnije opisati pomoću prvih nekoliko glavnih komponenata.

PCA algoritam

Neka je $\mathbf{X}_1 \dots \mathbf{X}_m$ kolekcija $l \times n$ slika. Definiramo matricu \mathbf{A} tako da je j -ti stupac $\text{vec}(\mathbf{X}_j)$. Srednja vrijednost se tada računa kao $\mathbf{M} = \frac{1}{m} \sum_{j=1}^m \mathbf{A}(:,j)$. Ako tada ažuriramo svaki stupac matrice \mathbf{A} prema $\mathbf{A}(:,j) \leftarrow \mathbf{A}(:,j) - \mathbf{M}$, tada kažemo da je \mathbf{A} u devijacijskoj formi srednje vrijednosti. Kovarijanca matrice \mathbf{A} je dana s: $\mathbf{C} = \frac{1}{m-1} \mathbf{A} \mathbf{A}^T$.

PCA algoritam

Glavna ideja je $\mathbf{A}(:,j) \approx \mathbf{U}_r \mathbf{U}_r^T \mathbf{A}(:,j)$ gdje je $\mathbf{U}_r = \mathbf{U}(:, 1 : r)$ za neki $r \ll m$. Matrica $\mathbf{U}_r \mathbf{U}_r^T$ je ortogonalni projektor na $\mathbf{u}_1, \dots, \mathbf{u}_r$, prostor razapet s prvih r glavnih komponenata. Također, primijetimo:

$$\mathbf{A}(:,j) \approx \mathbf{U}_r \mathbf{U}_r^T \mathbf{A}(:,j) = \sum_{i=1}^r c_i \mathbf{u}_i \quad c_i = \mathbf{u}_i^T \mathbf{A}(:,j) \quad (3)$$

PCA algoritam

Algorithm 1: Traditional Matrix PCA Method

Input: Training: \mathbf{I}_i , $i = 1, 2, \dots, N$, Testing: \mathbf{J} , Truncation index k

Output: Comparison of Test Image with Compressed Training Set

for $i = 1$ **to** N **do**

$\mathbf{L}(:, i) \leftarrow$ vectorized \mathbf{I}_i

end

$\mathbf{M} \leftarrow$ mean image

$\mathbf{A} \leftarrow$ mean-deviation form of \mathbf{L}

$\mathbf{U} \leftarrow$ left singular vectors of \mathbf{A}

$\mathbf{G} \leftarrow \mathbf{U}(:, 1:k)^T \mathbf{A}$

$\mathbf{T} \leftarrow \mathbf{J} - \mathbf{M}$

$\mathbf{t} \leftarrow$ vectorized form of \mathbf{T}

$\mathbf{c} \leftarrow \mathbf{U}(:, 1:k)^T \mathbf{t}$

for $j = 1$ **to** N **do**

 Calculate $\|\mathbf{c} - \mathbf{G}(:, j)\|_F$

end

Claim the training image whose coefficient is closest to that of the test image is the match.

Tradicionalni algoritmi - TensorFaces

- Prvi algoritam koji se koristio manipulacijom tenzora za prepoznavanje lica
- Podatci su predstavljeni tenzorom s različitim modovima za različite faktore
- Aproksimacija tenzora obavlja se multidimenzionalnim SVD višeg reda - HOSVD-om, koji je Tuckerova reprezentacija

TensorFaces

Koristimo tenzor \mathcal{L} da bi specificirali ljude, točke gledišta, osvjetljenje, ekspresije i piksele, redom, a P, V, I, E su brojevi ljudi, točaka gledišta, osvjetljenja, ekspresije i piksela u podacima za treniranje, dok su P', V', I', E' isti ti koeficijenti za podatke za testiranje. Pix je duljina svake vektorizirane slike. Tada možemo izračunati jezgri tenzor:

$$\mathcal{Z} = \mathcal{L} \times_1 \mathbf{U}_p^T \times_2 \mathbf{U}_v^T \times_3 \mathbf{U}_i^T \times_4 \mathbf{U}_e^T \times_5 \mathbf{U}_{pix}^T \quad (4)$$

TensorFaces

$\mathcal{B} = \mathcal{Z} \times_2 \mathbf{U}_v \times_3 \mathbf{U}_i \times_4 \mathbf{U}_e \times_5 \mathbf{U}_{pix}$ definira $V \times I \times E$ različite baze za svaku kombinaciju točaka gledišta, osvjetljenja i ekspresija, a sub tenzor $\mathcal{B}_{v,i,e}$ veličine $P \times 1 \times 1 \times 1 \times Pix$ za bilo koji dani v, i, e . Za svaku danu sliku, koristi se spljoštena matrica $\mathbf{B}_{v,i,e}^\dagger$ tenzora $\mathcal{B}_{v,i,e}$ za projiciranje u skup vektora koeficijenata $c_{v,i,e}$ za svaku v, i, e kombinaciju. Zatim onaj koji ima najmanji $c_{v,i,e} - \mathbf{U}_p(p, :)^T$ identificira nepoznatu sliku kao osobu p jer su vektor retci matrice \mathbf{U}_p koeficijenti za svaku osobu p .

TensorFaces algoritam

Algorithm 2: TensorFaces Method

Input: Training images $\mathbf{I}_{p,v,i,e}$, $p = 1, \dots, P$, $v = 1, \dots, V$, $i = 1, \dots, I$, $e = 1, \dots, E$;

Testing Image \mathbf{J}

Output: Coefficients of testing images with some tensor basis and comparison

for $p = 1, \dots, P$, $v = 1, \dots, V$, $i = 1, \dots, I$, $e = 1, \dots, E$ do

$\mathcal{L}(p, v, i, e, :) \leftarrow$ vectorized $\mathbf{I}_{p,v,i,e}$

end

Do the HOSVD to get the core tensor \mathcal{Z} and orthogonal factor matrices \mathbf{U}_i :

$\mathcal{L} \leftarrow \mathcal{Z} \times_1 \mathbf{U}_p \times_2 \mathbf{U}_v \times_3 \mathbf{U}_i \times_4 \mathbf{U}_e \times_5 \mathbf{U}_{pix}$

$\mathcal{B} \leftarrow \mathcal{Z} \times_2 \mathbf{U}_v \times_3 \mathbf{U}_i \times_4 \mathbf{U}_e \times_5 \mathbf{U}_{pix}$

$\mathcal{T}(1, 1, 1, 1, :) \leftarrow$ vectorized testing image

for $v = 1, \dots, V$, $i = 1, \dots, I$, $e = 1, \dots, E$; do

$c_{v,i,e} \leftarrow (\mathcal{B}_{v,i,e}^\dagger)^T \mathcal{T}(1, 1, 1, 1, :)$

for $p = 1, \dots, P$ do

Calculate $\|c_{v,i,e} - \mathbf{U}_p(p, :)^T\|_F$

end

end

Claim the training image whose coefficient is closest to that of the test image is the match.

Novi pristup - Tensor Framework

Definition

Neka je \mathcal{A} tenzor veličine $l \times p \times n$ i \mathcal{B} tenzor veličine $p \times m \times n$. Tada je tenzor-produkt $\mathcal{A} * \mathcal{B}$ $l \times m \times n$ tenzor:

$$\mathcal{A} * \mathcal{B} = \text{fold}(\text{bcirc}(\mathcal{A}) \cdot \text{unfold}(\mathcal{B})) \quad (5)$$

Neka je $\mathcal{A} \in \mathbb{R}^{l \times m \times n}$ u \mathbf{F}_n $n \times n$ DFT matrica. Sada je $\text{birc}(\mathcal{A})$ blok matrica $n \times n$ koja ima $l \times m$ blokova. Neka \mathbf{P}_1 i \mathbf{P}_2 označavaju permutacije po koracima tako da je:

$$\mathbf{P}_1 \cdot \text{birc}(\mathcal{A}) \cdot \mathbf{P}_2 = \begin{bmatrix} N_{11} & N_{12} & \dots & N_{1m} \\ N_{21} & N_{22} & \dots & N_{2m} \\ \vdots & \vdots & \ddots & \\ N_{l1} & N_{l2} & \dots & N_{lm} \end{bmatrix} \quad (6)$$

Vrijedi:

$$\mathbf{P}_2^T \cdot (\mathbf{F}_n^* \otimes \mathbf{I}_n) \cdot \mathbf{P}_2 = \mathbf{I}_m \otimes \mathbf{F}_n^* \quad (7)$$

Primijetimo da je:

$$\mathbf{P}_1 \cdot (\mathbf{F}_n \otimes \mathbf{I}_l) \cdot \mathbf{P}_1^T \cdot \mathbf{P}_1 \cdot \text{bcirc}(\mathcal{A}) \cdot \mathbf{P}_2 \cdot \mathbf{P}_2^T \cdot (\mathbf{F}_n^* \otimes \mathbf{I}_m) \cdot \mathbf{P}_2 \quad (8)$$

jednako

$$(\mathbf{I}_l \otimes \mathbf{F}_n) \begin{bmatrix} N_{11} & N_{12} & \dots & N_{1m} \\ N_{21} & N_{22} & \dots & N_{2m} \\ \vdots & \vdots & \ddots & \\ N_{l1} & N_{l2} & \dots & N_{lm} \end{bmatrix} (\mathbf{I}_m \otimes \mathbf{F}_n^*) = \begin{bmatrix} D_{11} & D_{12} & \dots & D_{1m} \\ D_{21} & D_{22} & \dots & D_{2m} \\ \vdots & \vdots & \ddots & \\ D_{l1} & D_{l2} & \dots & D_{lm} \end{bmatrix} \quad (9)$$

$$(\mathbf{F}_n^* \otimes \mathbf{I}_l) \cdot \text{birc}(\mathcal{A}) \cdot (\mathbf{F}_n^* \otimes \mathbf{I}_m) =$$

$$\mathbf{P}_1^T \begin{bmatrix} D_{11} & D_{12} & \dots & D_{1m} \\ D_{21} & D_{22} & \dots & D_{2m} \\ \vdots & \vdots & \ddots & \\ D_{l1} & D_{l2} & \dots & D_{lm} \end{bmatrix} \mathbf{P}_2^T = \begin{bmatrix} A^{(1)} & & \\ & \ddots & \\ & & A^{(n)} \end{bmatrix} \quad (10)$$

Neka je $\hat{\mathcal{A}} = \text{fft}(\mathcal{A}, [], 3)$, te za svaki i $\hat{\mathbf{A}} = \hat{\mathcal{A}}(:, :, i)$. Kada su tenzori gusti, mogli bismo izračunati $\mathcal{A} * \mathcal{B}$ računanjem FFT-a duž svake niti $\mathcal{A}i\mathcal{B}$ kako bi dobili $\hat{\mathcal{A}}i\hat{\mathcal{B}}$, pomnožiti svaki par lica $\hat{\mathcal{A}}i\hat{\mathcal{B}}$ kako bi dobili $\hat{\mathcal{C}}$, te uzeti inverzni FFT duž niti $\Rightarrow O(lpmn + (lp + pm)n \log(n)) \approx O(lpmn)$.

Tensor-tenzor produkt, koristeći FFT

Algorithm 3: Tensor-Tensor Product, using Fourier Domain Computation

Input: $\mathcal{A} \in \mathbb{R}^{\ell \times p \times n}$, $\mathcal{B} \in \mathbb{R}^{p \times m \times n}$

Output: $\mathcal{C} := \mathcal{A} * \mathcal{B}$

$\hat{\mathcal{A}} \leftarrow \text{fft}(\mathcal{A}, [], 3)$; $\hat{\mathcal{B}} \leftarrow \text{fft}(\mathcal{B}, [], 3)$

for $i = 1$ to n do

$\hat{\mathcal{C}}(:, :, i) \leftarrow \hat{\mathcal{A}}(:, :, i) \hat{\mathcal{B}}(:, :, i)$

end

$\mathcal{C} \leftarrow \text{ifft}(\hat{\mathcal{C}}, [], 3)$

Lemma

$$\mathcal{A} * (\mathcal{B} * \mathcal{C}) = (\mathcal{A} * \mathcal{B}) * \mathcal{C}$$

Definition

Ako je $\mathcal{A} \, l \times m \times n$, tada je $\mathcal{A}^T \, m \times l \times n$ tenzor nastao transponiranjem svakom frontalnog slicea, te mijenjanjem poretka transponiranih frontalnih sliceova od 2. do n-tog.

Definition

Tenzor je f-dijagonalan ako je svaki frontalni slice dijagonalna matrica.

Definition

$I \times I \times n$ tenzor \mathcal{I}_{IIn} je tenzor identitete čiji je prvi frontalni slice $I \times I$ matrica identiteta, te su ostali frontalni sliceovi 0. Slično, tenzor je f-gornjetrokutast ako je svaki frontalni slice gornjetrokutast.

Definition

$I \times I \times n$ \mathcal{Q} realni tenzor je ortogonalan ako vrijedi:

$$\mathcal{Q}^T * \mathcal{Q} = \mathcal{Q} * \mathcal{Q}^T = \mathcal{I} \quad (11)$$

T-SVD

T-SVD je tenzor dekompozicija bazirana na već spomenutom tenzor-tenzor produktu, što je zapravo analogon matričnom SVD-u.

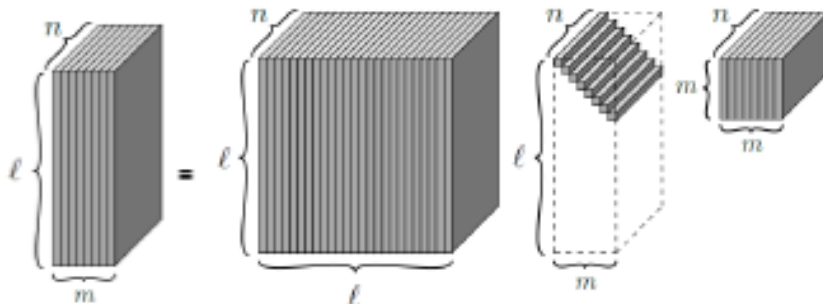
Theorem

Neka je \mathcal{A} realni $l \times m \times n$ tenzor. Tada se \mathcal{A} može faktorizirati kao:

$$\mathcal{A} = \mathcal{U} * \mathcal{S} * \mathcal{V}^T \quad (12)$$

gdje je \mathcal{U} ortogonalni $l \times l \times n$ tenzor, \mathcal{V} ortogonalni $m \times m \times n$ tenzor, a \mathcal{S} f-dijagonalni $l \times m \times n$ tenzor.

T-SVD



Theorem

Neka je $T - SVD$ tenzora $\mathcal{A} \in \mathbb{R}^{l \times m \times n}$ dan s $\mathcal{A} = \mathcal{U} * \mathcal{S} * \mathcal{V}^T$ i za $k < \min(l, m)$ definiramo:

$$\mathcal{A}_k = \sum_{i=1}^k \mathcal{U}(:, i, :) * \mathcal{S}(i, i, :) * \mathcal{V}(:, i, :)^T \quad (13)$$

Tada je $\mathcal{A}_k = \arg \min_{\bar{\mathcal{A}} \in M} \|\mathcal{A} - \bar{\mathcal{A}}\|_F$ gdje je

$$M = \{\mathcal{C} = \mathcal{X} * \mathcal{Y} | \mathcal{X} \in \mathbb{R}^{l \times k \times n}, \mathcal{Y} \in \mathbb{R}^{k \times m \times n}\}.$$

Novi pristup baziran na TSVD

Budući ćemo koristiti matrice orijentirane 3. dimenziji, uvodimo novu operaciju: "squeeze" operacija tenzora $\mathcal{X} \in \mathbb{R}^{l \times 1 \times n}$ proizvodi matricu:

$$\mathbf{X} := \text{squeeze}(\mathcal{X}) \longrightarrow \mathbf{X}(i, j) := \mathcal{X}(i, 1, j) \quad (14)$$

dok je twist operacije inverz squeeze operacije:

$$\text{twist}(\text{squeeze}(\mathcal{X})) = \mathcal{X} \quad (15)$$

Neka je \mathbf{M} srednja vrijednost slike, $\mathcal{A}(:, j, :) = \text{twist}(\mathbf{X}_j - \mathbf{M}), j = 1, \dots, m$.

Tada su uzorci reprezentirani vektor stupcima, dužine l , a ulazi su "tube"

- Analogno kovarijacijskoj matrici u tradicionalnom PCA,

$$\mathcal{K} := \frac{1}{m-1} \mathcal{A} * \mathcal{A}^T$$

- Vrijedi: $\mathcal{K} = \mathcal{U} * \mathcal{D} * \mathcal{U}^T$
- Ne računamo svojstveno dekompoziciju od \mathcal{K} , već koristimo tenzor verziju SVDa: $\mathcal{A} = \mathcal{U} * \mathcal{S} * \mathcal{V}^T$.
- Iz $\mathcal{K} := \frac{1}{m-1} \mathcal{A} * \mathcal{A}^T = \frac{1}{m-1} \mathcal{U} * \mathcal{S} * \mathcal{S}^T * \mathcal{U}^T$ slijedi da su ne-nul svojstvene vrijednosti od \mathcal{K} kvadrati pripadnih singularnih vrijednosti od \mathcal{A} , a lijeva ortogonalna matrica \mathcal{U} sadrži glavne komponente \mathcal{K} .

$\mathcal{U}(:, 1 : k, :)$ je ortogonalni skup lateralnih sliceova $\mathcal{U}(:, j, :) \in \mathbb{R}^{l \times 1 \times n}$ i $\mathcal{U}(:, 1 : k, :) * \mathcal{U}(:, 1 : k, :)^T$ definira ortogonalni projektor koji projicira centriranu sliku na prostor manje dimenzije. Ukoliko koristimo prvih nekoliko lijevih singularnih lateralnih sliceova od \mathcal{U} kao novu bazu, tada:

$$\mathcal{A}(:, j, :) \approx \mathcal{U}(:, 1 : k, :) * \mathcal{U}(:, 1 : k, :)^T * \mathcal{A}(:, j, :) = \sum_{t=1}^k \mathcal{U}(:, t, :) * \mathcal{C}(t, j, :) \quad (16)$$

T-SVD algoritam 1

Algorithm 4: T-SVD Method I

Input: Training: $\mathbf{I}_i, i = 1, 2, \dots, N$; Test image \mathbf{J} , Truncation index k

Output: Match of Test image against Compressed Representation of Training Set

for $i = 1$ **to** N **do**

$\mathcal{L}(:, i, :) \leftarrow \mathbf{I}_i$

end

$\mathcal{M} \leftarrow$ mean image

$\mathcal{A} \leftarrow$ mean-deviation form of \mathcal{L}

$\mathcal{U} \leftarrow$ left singular vectors of tensor \mathcal{A}

$\mathcal{C} \leftarrow \mathcal{U}(:, 1:k, :)^T * \mathcal{A}$

$\mathcal{T}(:, 1, :) \leftarrow \text{twist}(\mathbf{J} - \mathcal{M})$

$\mathcal{B} \leftarrow \mathcal{U}(:, 1:k, :)^T * \mathcal{T}$

for $j = 1$ **to** N **do**

Calculate $\|\mathcal{B} - \mathcal{C}(:, j, :)\|_F$

end

Claim the training image whose coefficient is closest to that of the test image is the match.

Lemma

Kada su slike jednodimenzionalni signali ($n = 1$), tenzorski SVD je tada zapravo PCA.

Neka je $\mathbf{Y}_j := \text{squeeze}(\mathcal{A}(:, j, :))$. Neka je $\text{circ}(v)$ cirkularna matrica čiji je prvi stupac v . Iz 16, definicije $*$ i malo manipulacije, vrijedi:

$$\mathbf{Y}_j \approx \sum_{t=1}^k \mathbf{W}_t \text{circ}(\mathbf{c}_{t,j}) \quad (17)$$

Theorem

Neka je \mathbf{F} $n \times n$ DFT matrica. S $\hat{\mathbf{Y}}_j := \mathbf{Y}_j \mathbf{F}$, $\hat{\mathbf{W}}_j := \mathbf{W}_j \mathbf{F}$ i $\hat{\mathbf{c}}_{t,j}$

Fourierovi koeficijenti vektor stupca $\mathbf{c}_{t,j}$ duljine n ,

$$\hat{\mathbf{Y}}_j \approx \left[\sum_{t=1}^k \hat{\mathbf{c}}_{t,j}^{(1)} \hat{\mathbf{U}}^{(1)}(:, t), \dots, \sum_{t=1}^k \hat{\mathbf{c}}_{t,j}^{(n)} \hat{\mathbf{U}}^{(n)}(:, t) \right] \quad (18)$$

gdje $\hat{\mathbf{c}}_{t,j}^{(i)}$ označava i – tu komponentu tog vektora, a

$\hat{\mathbf{W}}_t(:, i) = \hat{\mathbf{U}}^{(i)}(:, t)$ gdje je $\hat{\mathbf{U}}^{(i)}$ unitarna matrica. Slijedi da je Algoritam 2 ekvivalentan simultanoj (i nezavisnoj) PCA metodi na svakom stupcu transformiranje slike, kada oduzmemo srednju vrijednost, u Fourierovom prostoru, uzimajući isto skraćenje indeksa k na svakom stupcu.

Posljedice teorema

- Nema gubitka u postupku prepoznavanja ako radimo u Fourierovoj domeni
- Usporedba koeficijenata proširenja testne slike \mathbf{J} s trening koeficijentom tenzora može se napraviti u Fourierovoj domeni.
- Zbog konjugirane simetrije, samo se polovica produkata matrice mora izvršiti da bi izračunali $\hat{\mathcal{Z}}$
- Spremanje prvih $\frac{n}{2} + 1$ frontalnih sliceova zahtijeva istu količinu prostora za pohranu kao i spremanje \mathcal{U}, \mathcal{C}

Posljedice teorema

- Mijenjamo 16 sa:

$$\hat{\mathbf{Y}}_j \approx \left[\sum_{t=1}^{k_1} \hat{\mathbf{c}}_{t,j}^{(1)} \hat{\mathbf{U}}^{(1)}(:, t), \dots, \sum_{t=1}^{k_n} \hat{\mathbf{c}}_{t,j}^{(n)} \hat{\mathbf{U}}^{(n)}(:, t) \right] \quad (19)$$

- Zahtjeve za pohranom možemo opisati na slijedeći način. Moramo pohraniti:

$$K = k_1 + 2k_2 + \dots + 2k_{\frac{n}{2}} + 2k_{\frac{n}{2}+1} \quad (20)$$

- Iz svake $\hat{\mathbf{U}}^i, i = 1, 2, \dots, \frac{n}{2} + 1$ moramo spremiti samo k_i stupaca. Ovo zahtijeva pohranu IK double precision brojeva.
- Za $m =$ broj trening slika, moramo spremiti $IK + mK$ brojeva.

Preostaje nam vidjeti kako identificirati parametre $k_i, i = 1, \dots, \frac{n}{2} + 1$.

$$\|\hat{\mathcal{A}}(:, :, 1 : \frac{n}{2} + 1)\|_F^2 = \sum_{i=1}^{\frac{n}{2}+1} \|\hat{\mathcal{A}}(:, :, i)\|_F^2 = \sum_{i=1}^{\frac{n}{2}+1} \sum_{j=1}^{\min(l, m)} (\hat{\mathbf{s}}_j^i)^2 \quad (21)$$

Dakle, da bi optimalno definirali indekse skraćivanja, promotrimo mjerenje relativne energije:

$$\frac{\sum_{i=1}^{\frac{n}{2}+1} \sum_{j=1}^{k_i} (\hat{\mathbf{s}}_j^i)^2}{\|\hat{\mathcal{A}}(:, :, 1 : \frac{n}{2} + 1)\|_F^2} \quad (22)$$

Nova metoda bazirana na ovoj strategiji opisana je Algoritmom 5.

T-SVD algoritam 2

Algorithm 5: T-SVD Method II

Input: Training: \mathbf{I}_i , $i = 1, 2, \dots, N$; Test image \mathbf{J} , Truncation index k

Output: Fourier Domain Comparison of Test image against Compressed Representation of Training Set

for $i = 1$ **to** N **do**

$\mathcal{L}(:, i, :) \leftarrow \mathbf{I}_i$

end

$\mathcal{M} \leftarrow$ mean image

$\mathcal{A} \leftarrow$ mean-deviation form of \mathcal{L}

 Frontal face SVDs of $\hat{\mathbf{A}}^{(i)} \leftarrow \hat{\mathcal{A}}(:, :, i)$, $i = 1, \dots, \frac{n}{2} + 1$

 Employ drop strategy; keep only $\hat{\mathbf{U}}^{(i)}(:, 1 : k_i)$

$\mathcal{T}(:, 1, :) \leftarrow$ twist($\mathbf{J} - \mathcal{M}$)

for $i = 1 : \frac{n}{2} + 1$, $t = 1 : k_i$, $j = 1 : N$ **do**

$\hat{\mathbf{c}}_{t,j}^{(i)} \leftarrow (\hat{\mathbf{U}}^{(i)}(:, t))^H \hat{\mathbf{A}}^{(i)}(:, j)$

end

for $i = 1 : \frac{n}{2} + 1$, $t = 1 : k_i$, **do**

$\hat{\mathbf{b}}_t^{(i)} \leftarrow (\hat{\mathbf{U}}^{(i)}(:, t))^H \hat{\mathbf{T}}^{(i)}(:, 1)$

end

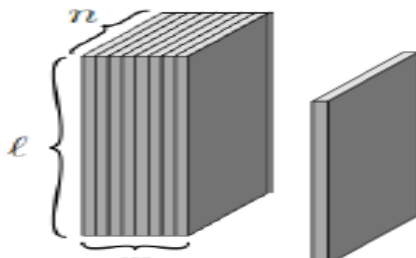
for $j = 1 : N$ **do**

 Calculate $\|\hat{\mathbf{b}}_t^{(i)} - \hat{\mathbf{c}}_{t,j}^{(i)}\|_F$

end

Alternativa - tenzor OR pivotiranje

Razlog je potencijalna prednost updatea i downdate baze podataka. Mana ove metode jest da optimizacija neće biti optimalna.



Permutacijski tenzor $\mathcal{P} \in \mathbb{R}^{m \times m \times n}$ je tenzor čiji se ulazi sastoje samo od 0 i 1, i za koji vrijedi $\mathcal{P}^T * \mathcal{P} = \mathcal{P} * \mathcal{P}^T = \mathcal{I}$.

Theorem

Neka je $\mathcal{A} \in \mathbb{R}^{l \times m \times n}$ realni tenzor. Tada se \mathcal{A} može faktorizirati na slijedeći način:

$$\mathcal{A} * \mathcal{P} = \mathcal{Q} * \mathcal{R} \quad (23)$$

gdje je $\mathcal{Q} \in \mathbb{R}^{l \times l \times n}$ ortogonalni tenzor, \mathcal{R} je $l \times m \times n$ f-gornjetrokutasti tenzor, a \mathcal{P} je permutacijski tenzor.

Tensor QR metoda

Algorithm 6: Tensor QR Method

Input: Training: $\mathbf{I}_i, i = 1, 2, \dots, N$, Testing: \mathbf{J} , Truncation index k

Output: Coefficients of testing images with a basis of reduced dimension

for $i = 1$ **to** N **do**

$\mathcal{L}(:, i, :) \leftarrow \mathbf{I}_i$

end

$\mathcal{M} \leftarrow$ mean image

$\mathcal{A} \leftarrow$ mean-deviation form of \mathcal{L}

$[\mathcal{Q}, \mathcal{R}] \leftarrow$ tensor (pivoted) QR decomposition of \mathcal{A}

$\mathcal{C} \leftarrow \mathcal{Q}(:, 1:k, :)^T * \mathcal{A}$

$\mathcal{T}(:, 1, :) \leftarrow \text{twist}(\mathbf{J} - \mathcal{M})$

$\mathcal{B} \leftarrow \mathcal{Q}(:, 1:k, :)^T * \mathcal{T}$

for $j = 1$ **to** N **do**

Calculate $\|\mathcal{B} - \mathcal{C}(:, j, :)\|_F$

end

Claim the training image whose coefficient is closest to that of the test image is the match.
